

## اثر چرخه‌های یخزدگی- ذوب شدگی بر ضریب نفوذپذیری خاک رسی متراکم و عایق رسی ژئوسینتیک

کاظم بدوان<sup>۱</sup>\* و مهدی قلیخانی<sup>۲</sup>

تاریخ دریافت: ۹۱/۰۶/۰۶ تاریخ پذیرش: ۹۲/۰۵/۰۵

<sup>۱</sup>- استاد گروه مهندسی عمران، دانشگاه ارومیه

<sup>۲</sup>- دانشجوی کارشناسی ارشد گروه مهندسی عمران، دانشگاه ارومیه

\* مسئول مکاتبات، پست الکترونیکی: k.badv@urmia.ac.ir

### چکیده

اثر چرخه‌های یخزدگی- ذوب شدگی بر ضریب نفوذپذیری خاک‌های رسی متراکم و عایق‌های رسی ژئوسینتیک موضوع اساسی در طراحی سیستمهای مانع انتقال در سازه‌های ذخیره آب و مدافن‌های زباله شهری می‌باشد. در این تحقیق اثر چرخه‌های یخزدگی- ذوب شدگی بر ضریب نفوذپذیری رس متراکم منطقه نازلوی ارومیه و عایق رسی- ژئوسینتیک و همچنین تأثیر میزان تنفس مؤثر در این چرخه‌ها بر نرخ تغییر ضریب نفوذپذیری نمونه‌های رسی بررسی شد. دستگاه تعیین ضریب نفوذپذیری سه محوری با دیواره انعطاف‌پذیر برای اندازه‌گیری ضریب نفوذپذیری نمونه‌های قرار گرفته در معرض چرخه‌های یخزدگی- ذوب شدگی مورد استفاده قرار گرفت. نتایج نشان داد در طول دوره یخزدگی عدسی‌های یخی شکل گرفته در خاک و ذوب شدن دوباره آن باعث ایجاد یک شبکه مشخص از ترک‌ها در خاک در نتیجه افزایش ضریب نفوذپذیری می‌شود. افزایش تنفس مؤثر باعث می‌شود نرخ افزایش ضریب نفوذپذیری بر اثر چرخه‌های یخزدگی- ذوب شدگی کاهش یابد. نتایج نشان داد برخلاف خاک‌های رسی، در عایق‌های رسی ژئوسینتیک چرخه‌های متناوب یخزدگی و ذوب شدگی تأثیر چندانی بر تغییر ضریب نفوذپذیری این لایه‌ها نداشتند. بنابراین، زمانی که این لایه‌ها در شرایط آب و هوایی سخت قرار گیرند به عملکرد خوب خود به عنوان یک مانع هیدرولیکی ادامه می‌دهند.

واژه‌های کلیدی: ذوب شدگی، رس متراکم، ضریب نفوذپذیری، عایق رسی- ژئوسینتیک، یخ زدگی

## Effect of Freeze - Thaw Cycles on Hydraulic Conductivity of Compacted Clayey Soil and Geosynthetic Clay Liner (GCL)

K Badv<sup>\*1</sup> and M Gholikhani<sup>2</sup>

Received: 27 August 2012 Accepted: 27 July 2013

<sup>1</sup>Prof., Dept. of Civil Engin., Univ. of Urmia, Iran

<sup>2</sup>M.Sc. Student, Dept. of Civil Engin., Univ. of Urmia, Iran

\*Corresponding Author Email: k.badv@urmia.ac.ir

### Abstract

The effect of freeze-thaw cycles on hydraulic conductivity (HC) of compacted clay liner (CCL) and geosynthetic clay liners (GCLs) in water retaining structures and municipal solid waste landfills is a key issue in designing barrier systems in those structures. In this study the effect of freeze-thaw cycles on the hydraulic conductivity of a compacted clayey soil from Nazlou Region of Urmia City and a geosynthetic clay liner; and the impact of effective stress on the hydraulic conductivity change of clayey soil in these cycles were investigated. A flexible-wall triaxial hydraulic conductivity apparatus was used to measure the HC of the specimens subjected to freeze-thaw cycles. During the freezing process ice lenses grow in soil sample and when the ice lenses melt, a network of cracks is left and the HC increases. Increasing the effective stress reduces the increased hydraulic conductivity due to freeze-thaw cycles. The results show that on the contrary to compacted clayey soil, the application of intermittent freeze-thaw cycles does not significantly affect the HC of GCL even when GCL sample is subjected to extreme climatic conditions during which it continues to exhibit good performance as a hydraulic barrier.

**Keywords:** Compacted clay, Freeze-thaw cycles, Geosynthetic clay liner, Hydraulic conductivity

مصالح طبیعی نیز به نوبه خود مشکلات خاصی را دارند که از جمله نزدیک نبودن منابع قرضه به محل اجرای پروژه، بالا رفتن هزینه حمل و نقل، نیاز به تخصص در اجرای صحیح و مشکلاتی که بر اثر عوامل جوی یا طبیعت ذاتی این مصالح وجود دارد، باعث شده است این مصالح با رضایت کامل مورد استفاده قرار نگیرند.

در مناطق سردسیر لاینرهای رسی و عایق‌های رسی ژئوسینتیک ممکن است در طول فصل سرما در

### مقدمه

رفتار آب در خاک به دلیل ایجاد مشکلات فراوان در بیشتر اوقات باعث جلب نظرها گردیده است. کنترل نشت و ایجاد مانع هیدرولیکی یکی از مسائل مهم در مهندسی عمران می‌باشد. داشتمدن کوشیده‌اند تا راه حل مناسبی در این مورد پیدا کنند. هزینه بالای مصالح عایق مصنوعی و غیراقتصادی بودن استفاده از آنها در پروژه‌های بزرگ باعث شده است تا مصالح با نفوذپذیری کم طبیعی، بیشتر مورد توجه قرار گیرند.

دوره یخ‌زدگی در خاک رسی شکل گرفتند نسبت دادند. هویت و دانیل (۱۹۹۷) گزارش کردند که ضریب نفوذپذیری یک لایه GCL نسبت به آب، بعد از یک تا سه چرخه یخ‌زدگی-ذوبشدنی تغییر نکرد. کراس و بنسن (۱۹۹۷) نشان دادند که ضریب نفوذپذیری برای یک لایه GCL که در معرض تا ۲۰ چرخه یخ‌زدگی-ذوبشدنی قرار گرفته بود افزایش پیدا نکرد. پدگوتنری و بنت (۲۰۰۶) با انجام آزمایش‌های نفوذپذیری بر یک لایه GCL سوزن دوری شده با بتونیت سدیمی، تا ۱۵۰ چرخه یخ‌زدگی-ذوبشدنی نشان دادند که این لایه می‌تواند حداقل ۱۵۰ چرخه یخ‌زدگی-ذوبشدنی را بدون اینکه افزایش قابل توجهی در ضریب نفوذپذیری نسبت به آب داشته باشد، دوام بیاورد.

سیستم‌های یخ‌زدگی-ذوبشدنی به دو شکل یک بعدی و سه بعدی می‌تواند به نمونه‌ها اعمال شود (ASTM D6035-08) (بی‌نام ۲۰۰۸). در سیستم یخ‌زدگی-ذوبشدنی یک بعدی اطراف نمونه مورد نظر، با عایق پشم شیشه پوشانده می‌شود و نمونه از اطراف با محیط مجاور تبادل دمایی ندارد و فقط در بعد طولی (از سطح بالایی و پایینی نمونه) با محیط تبادل دمایی دارد ولی در سیستم یخ‌زدگی-ذوبشدنی سه بعدی نمونه مورد نظر در طول چرخه یخ‌زدگی-ذوبشدنی فاقد عایق پشم شیشه بوده و نمونه آزادانه با محیط تبادل دمایی دارد. زیمی و همکاران (۱۹۹۱) برای مقایسه اثر دو نوع سیستم یخ‌زدگی-ذوبشدنی یک بعدی و سه بعدی، دو نمونه رسی با ویژگی‌های مشابه را در درجه رطوبت‌های مختلف تحت اثر چرخه‌های یخ‌زدگی-ذوبشدنی یک بعدی و سه بعدی قرار دادند و سپس آزمایش‌های نفوذپذیری بر روی این دو نمونه انجام شد. نتایج نشان داد که ضریب نفوذپذیری بدست آمده برای این دو نمونه تقریباً یکسان بود.

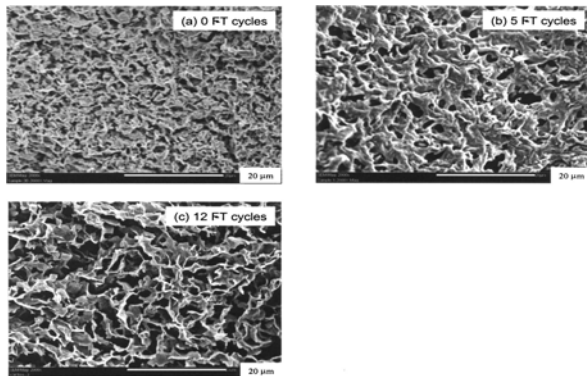
پدیده یخ‌زدگی-ذوبشدنی بر ساختار خاک‌ها مؤثر است. هنگامی که دمای خاک به کمتر از صفر درجه سلسیوس کاهش می‌یابد، ذرات آب موجود در منافذ خاک سرد شده و یخ تشکیل می‌گردد. بر اثر این تغییر فاز، ساختار کریستالی شش ضلعی آب نزدیک به ۹ درصد منبسط می‌شود. این ذرات کریستالی تا زمانی

عرض چرخه‌های متناوب یخ‌زدگی-ذوبشدنی قرار گیرند. بنابراین، بررسی تأثیر چرخه‌های یخ‌زدگی-ذوبشدنی بر ضریب نفوذپذیری این لایه‌ها می‌تواند دارای اهمیت باشد. اثر چرخه‌های یخ‌زدگی-ذوبشدنی بر ضریب نفوذپذیری رس متراکم و عایق‌های رسی ژئوپلیتیک<sup>۱</sup> (GCL) در سازه‌های ذخیره آب و لندفیل‌های زباله شهری موضوع اساسی در طراحی سیستم‌های مانع انتقال در این سازه‌ها می‌باشد. از آنجا که هدف اصلی از کاربرد این لایه‌ها در سازه‌های ذکر شده به حداقل رساندن نفوذ مایعات است، ضریب نفوذپذیری پایین برای این لایه‌ها از اهمیت بالایی برخوردار است. بنابراین، بررسی پارامترهایی که نفوذپذیری این لایه‌ها را تحت تأثیر قرار می‌دهد نیز اهمیت می‌یابد.

اتمن (۱۹۹۲) با ارزیابی اثر چرخه‌های یخ‌زدگی-ذوبشدنی بر ضریب نفوذپذیری ۱۴ خاک رسی که در ساختمان، پلاستیسیته و مشخصات متراکم با هم مقاوم داشتند، نشان دادند که در نتیجه یخ‌زدگی-ذوبشدنی ضریب نفوذپذیری تا ۱۴۰۰ برابر افزایش می‌یابد. شدت افزایش در ضریب نفوذپذیری برای خاک رسی که دارای ضریب نفوذپذیری اولیه کمتری بودند، بیشتر بود. برای خاک‌های رسی با ضریب نفوذپذیری نسبتاً بالا ( $m/s \times 10^{-8}$ )، اثر یخ‌زدگی-ذوبشدنی حداقل بود. اتمن و بنسن (۱۹۹۳) اثر متراکم و شرایط خارجی (گرادیان دمایی، دمای نهایی، شدت یخ‌زدگی و تعداد چرخه‌های یخ‌زدگی-ذوبشدنی) را بر ضریب نفوذپذیری سه خاک رسی متراکم با ویژگی‌های متفاوت بررسی و مشاهده کردند که گرادیان دمایی و تعداد چرخه‌های یخ‌زدگی-ذوبشدنی بیشترین اثر را روی ضریب نفوذپذیری داشتند. چمبرلین و همکاران (۱۹۹۰) عکس‌هایی از مقاطع نازک رس متراکم یخ‌زدگی را ارائه کردند. این عکس‌ها عدسی‌های یخ با ضخامت حدود ۰/۲۵ mm. که به صورت موازی با جبهه یخ‌زدگه شکل گرفته بودند را در فواصل حدود ۱/۵ mm نشان دادند. ایشان افزایش ضریب نفوذپذیری رس متراکم بر اثر یخ‌زدگی-ذوبشدنی را به شبکه‌ای از ترک‌ها که در طول

<sup>۱</sup> Geosynthetic clay liner

تصاویر حفرات بنتونیت هستند. برای نمونه‌ای که تحت یخ‌زدگی-ذوبشدنی قرار نگرفته است اندازه حفرات تقریباً  $1 \mu\text{m}$  تا  $2 \mu\text{m}$  است که به صورت یکنواخت گسترده شده‌اند. برای نمونه‌های قرار گرفته در معرض چرخه‌های یخ‌زدگی-ذوبشدنی اندازه این حفرات تقریباً  $3 \mu\text{m}$  تا  $6 \mu\text{m}$  است (رو و همکاران ۲۰۰۸). در این تحقیق اثر چرخه‌های یخ‌زدگی-ذوبشدنی بر ضریب نفوذپذیری خاک رسی متراکم منطقه نازلوی ارومیه و عایق‌های رسی ژئوسیستیک و همچنین اثر میزان تنش مؤثر بر ضریب نفوذپذیری خاک رسی متراکم تحت اثر چرخه‌های یخ‌زدگی-ذوبشدنی بررسی گردید.



شکل ۱- بنتونیت داخل یک لایه GCL تحت: (a) بدون چرخه یخ‌زدگی-ذوبشدنی، (b) پنج چرخه یخ‌زدگی-ذوبشدنی، و (c) دوازده چرخه یخ‌زدگی-ذوبشدنی (رو و همکاران ۲۰۰۸).

### مواد و روش‌ها مشخصات مصالح

خاک رسی به کار رفته در این تحقیق، خاک رس منطقه نازلوی ارومیه می‌باشد که مشخصات آن در جدول ۱ نشان داده شده است. نمونه رسی مورد استفاده در این تحقیق دارای قطر  $100$  میلی‌متر و ارتفاع  $117$  میلی‌متر و رطوبت  $17$  درصد بوده که  $3$  درصد بیشتر از رطوبت بهینه تراکم ( $14\% = 0$ ) است و با استفاده از روش تراکم پروفکتور استاندارد تهیه شدند (ASTM-D698-78) (بی‌نام ۱۹۹۰).

که ذرات کریستالی دیگر مانع شوند یا به ذرات جامد خاک نزدیک شوند، رشد می‌کنند (اندرسلند و اندرسن ۱۹۷۸). زمانی که دمای سطح خاک کمتر از صفر درجه سلسیوس است یک جبهه یخ‌زده در سطح خاک شکل می‌گیرد (تیلور و لوتن ۱۹۷۸). یخ‌زدگی آب باعث افزایش فشار یخ و کاهش فشار آب حفره‌ای می‌شود. به دلیل کاهش فشار آب حفره‌ای در جبهه یخ‌زده آب از لایه‌های زیرین به طرف مرزهای یخ‌زده و درون خاک‌های یخ‌زده حرکت می‌کند حتی اگر خاک هیچ راه دسترسی به آب‌های خارجی نداشته باشد (ولیلیامز و پرفکت ۱۹۸۰). وقتی که این آب به جبهه یخ‌زده رسید در اثر تبادل دمایی با جبهه یخ‌زده این آب نیز یخ می‌زند و به این ترتیب جبهه یخ‌زده از سطح خاک به سمت لایه‌های درونی حرکت می‌کند. فشار آب حفره‌ای منفی بزرگ و حرکت آب باعث می‌شود ترکهای انقباضی در خاک زیر جبهه یخ‌زده در جهت قائم شکل بگیرند. با پیشروی جبهه یخ‌زده این ترکها با یخ پر می‌شوند اما بعد که یخ‌ها ذوب می‌شوند ترکها مجرایی برای جریان آب می‌شوند (بنسن و اتمن ۱۹۹۳). کثربت و اندازه عدسی‌های یخ بستگی به بزرگی نسی نرخ یخ‌زدگی و در دسترس بودن آب دارد. در یک گرادیان دمایی کوچک پیشروی جبهه یخ‌زده آرامتر است و بنابراین آب زمان بیشتری برای جمع شدن در یک مکان ثابت را دارد و از این‌رو عدسی‌های یخ ضخیم‌تری شکل می‌گیرند. با افزایش نرخ یخ‌زدگی (یا افزایش گرادیان دمایی) زمان کمتری برای رشد عدسی‌های یخ وجود دارد و جبهه یخ‌زده به سرعت پیشروی می‌کند. بنابراین، عدسی‌های یخ بیشتری با ضخامت و فواصل کوچکتر و در نتیجه ترکهای بیشتری برای اینکه در آنها جریان آب اتفاق بیافتد شکل می‌گیرند و ضریب نفوذپذیری افزایش می‌یابد (پنر ۱۹۵۷). رو و همکاران (۲۰۰۸) نشان دادند که پدیده یخ‌زدگی-ذوبشدنی دارای تأثیر قابل ملاحظه‌ای بر ساختار عایق‌های رسی ژئوسیستیک نمی‌باشد. در شکل ۱ عکس‌های با بزرگنمایی  $2000\times$  برابر از بنتونیت داخل نمونه‌های GCL که تحت  $0^\circ\text{C}$  و  $5^\circ\text{C}$  و  $12^\circ\text{C}$  چرخه یخ‌زدگی-ذوبشدنی گرفته نشان داده شده است. نواحی سیاه رنگ در



شکل ۲- نمونه GCL آماده شده برای آزمایش نفوذپذیری.

#### آزمایش‌های نفوذپذیری

نمونه‌های خاک پس از آماده‌سازی، به صورت سه‌بعدی تا ۶ چرخه تحت اثر سیستم یخ‌زدگی-ذوب-شدگی قرار گرفتند. در طول مرحله یخ‌زدگی نمونه‌ها در یک سیستم بسته تحت اثر یخ‌زدگی قرار داشتند (ASTM-D6035-08 (بی‌نام ۲۰۰۸). در یک سیستم بسته، نمونه در طول مرحله یخ‌زدگی به هیچ منبع آب خارجی دسترسی ندارد. در طول دوره یخ‌زدگی-ذوبشدنگی نمونه‌ها با پوشش پلاستیکی پوشانده شدند تا رطوبت نمونه در طول دوره یخ‌زدگی-ذوبشدنگی تغییر نکند. با توجه به پیشنهاد استاندارد ASTM-D6035-08، دمای یخ‌زدگی ۱۵- درجه سلسیوس و دمای ذوبشدنگی بین ۱۶ تا ۲۷ درجه سلسیوس در نظر گرفته شد (بی‌نام ۲۰۰۸). مدت زمان ذکر شده در این استاندارد برای هر کدام از دوره‌های یخ‌زدگی و ذوبشدنگی ۲۴ ساعت است.

نمونه‌های GCL قبل از اعمال چرخه‌های یخ‌زدگی-ذوبشدنگی به مدت ۵ روز با اعمال تنفس همه جانبی  $15 \pm 3$  کیلوپاسکال (ASTM-D6035-08) تحت نفوذ آب قرار و سپس همانند نمونه‌های رسی تحت اثر چرخه‌های یخ‌زدگی-ذوبشدنگی قرار گرفتند (بی‌نام ۲۰۰۸). بعد از اعمال تعداد مورد نظر از چرخه‌های یخ‌زدگی-ذوبشدنگی، نفوذپذیری نمونه‌ها در دو تکرار با استفاده از دستگاه نفوذپذیری سه محوری با دیواره انعطاف‌پذیر (Tri-Flex 2)، اندازه‌گیری گردید. آزمایش نفوذپذیری تا زمانی که میزان جریان ورودی با جریان خروجی برابر شود، ادامه یافت.

#### جدول ۱- ویژگی‌های خاک رس.

مقادیر	ویژگی
CL	بافت خاک براساس سیستم متعدد
۲۷	حد روانی (%)
۱۶	حد خمیری (%)
۱۱	نشانه خمیری (%)
۱۴	درجه رطوبت بهینه تراکم (%)
۱۸۳۰	چگالی خشک حداقل ( $\text{kg}/\text{m}^3$ )

نمونه GCL مورد استفاده در این تحقیق با نام تجاری BentoFix® BFG 5000 شامل یک لایه بنتونیت است که بین یک لایه ژئوتکستایل پوششی و یک لایه GCL مورد استفاده در این تحقیق در جدول ۲ آمده است. نمونه‌ها در اندازه‌های با قطر ۷۰ میلی‌متر آماده شدند. نمونه‌گیری از GCL برای آزمایش، بدون از دست دادن بنتونیت تقریباً غیرممکن است. برای تهیه نمونه با ابعاد مورد نیاز باید GCL به نحو مناسبی برش داده شود تا از دست رفتن بنتونیت به حداقل برسد. در این تحقیق برای تهیه نمونه‌های GCL، نمونه‌ها توسط یک استوانه فلزی نوک تیز به صورت خشک برش داده شدند و سپس یک لایه نازک از خمیر بنتونیت در اطراف محل برش چسبانده شده تا مانع هدر رفتن بنتونیت در حین آزمایش شود. در شکل ۲ یک نمونه GCL آماده شده برای آزمایش نشان داده است.

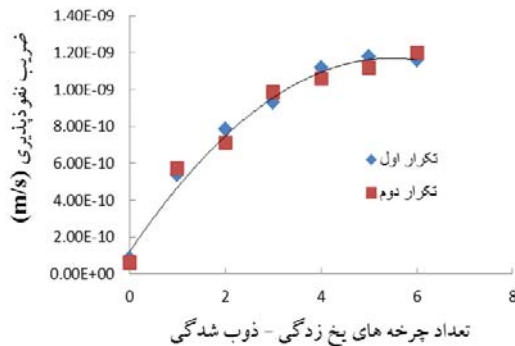
#### جدول ۲- ویژگی‌های نمونه GCL

مقادیر	ویژگی
۵۵۰۰	جرم واحد سطح ( $\text{g}/\text{m}^2$ )
۷	ضخامت (mm)
۲۰-۱۱	مقاومت کششی حداقل (kN/m)
$2 \times 10^{-11}$	ضریب نفوذپذیری (m/s)

## نتایج و بحث

### تأثیر تعداد چرخه‌های یخ‌زدگی-ذوبشدنگی بر ضریب نفوذپذیری خاک رسی متراکم

اثر چرخه‌های یخ‌زدگی-ذوبشدنگی بر ضریب نفوذپذیری خاک رسی متراکم در دو تکرار، در تنفس مؤثر ۳۰ kPa و گرادیان هیدرولیکی ۱۰ در شکل ۳ نشان داده شده است.



شکل ۳- تغییرات ضریب نفوذپذیری رسی متراکم در مقابل چرخه‌های یخ‌زدگی-ذوبشدنگی

بیشترین تغییر ضریب نفوذپذیری بعد از اولین چرخه یخ‌زدگی-ذوبشدنگی رخ می‌دهد. ضریب نفوذپذیری در ابتدا تحت اثر اولین چرخه یخ‌زدگی-ذوبشدنگی تقریباً ۱۰ برابر می‌شود. به نظر می‌رسد که آسیب اساسی به نمونه در طول اولین چرخه یخ‌زدگی-ذوبشدنگی رخ می‌دهد اما نرخ افزایش در ضریب نفوذپذیری بعد از ۳ چرخه یخ‌زدگی-ذوبشدنگی کاهش می‌یابد و بعد از ۵ چرخه یخ‌زدگی-ذوبشدنگی بعد از رسیدن به یک مقدار حداقل ثابت می‌ماند. از این رو می‌توان نتیجه گرفت که ضریب نفوذپذیری نمونه رسی که تحت اثر ۵ چرخه یخ‌زدگی-ذوبشدنگی قرار گرفته است قابل استفاده برای طراحی‌های مهندسی در مناطق سردسیر است. اتمن و بنسون (۱۹۹۲) به نتیجه مشابهی دست یافته‌اند. در کل می‌توان نتیجه گرفت که ضریب نفوذپذیری خاک رسی (CL) بر اثر چرخه‌های یخ‌زدگی-ذوبشدنگی به صورت قابل ملاحظه‌ای تحت تأثیر قرار می‌گیرد و اگر خاک رسی CL در منطقه‌ای سردسیر به عنوان لایه مانع هیدرولیکی مورد استفاده قرار گیرد باید در مقابل اثر سرما محافظت شود. تغییرات بوجود آمده

در آزمایش نفوذپذیری سه محوری، ضریب نفوذپذیری بر اساس قانون دارسی و با استفاده از رابطه ۱ محاسبه گردید:

$$K = \frac{aL}{2At} \ln \left[ \frac{P_B + h(t_1)}{P_B + h(t_2)} \right] \quad [۱]$$

$$h(t_1) = V_u(t_1) - V_L(t_1) \quad [۲]$$

$$h(t_2) = V_u(t_2) - V_L(t_2) \quad [۳]$$

در روابط فوق  $a$  سطح مقطع بورت دستگاه نفوذپذیری سه محوری،  $L$  ارتفاع نمونه خاک،  $A$  سطح مقطع نمونه خاک،  $t$  زمان آزمایش،  $P_B$  تنفس انحرافی، اختلاف ارتفاع آب در بورت بالایی و پائینی،  $V_u(t_i)$  و  $V_L(t_i)$  حجم قرائت شده در بورت بالایی در زمان  $t_i$  و حجم قرائت شده در بورت پائینی در زمان  $t_i$  می‌باشد.

با توجه به اینکه روابط محاسبه ضریب نفوذپذیری برای دمای ۲۰ درجه سلسیوس ارائه و آزمایش‌های نفوذپذیری در دمای‌های مختلف انجام شده‌اند، لازم است نتایج بدست آمده برای ضرایب نفوذپذیری اصلاح شوند. استاندارد ASTM-D5084 رابطه زیر را برای اصلاح نتایج بدست آمده ارائه کرده است (بی‌نام):

$$K_{20} = R_T \cdot K \quad [۴]$$

در این رابطه  $K_{20}$  ضریب نفوذپذیری در دمای ۲۰ درجه سلسیوس،  $R_T$  نسبت ویسکوزیته آب در دمای آزمایش به ویسکوزیته آب در دمای ۲۰ درجه سلسیوس است و  $K$  ضریب نفوذپذیری مربوط به هر آزمایش در دمای مربوط به آن آزمایش می‌باشد. ضریب  $R_T$  با استفاده از رابطه ۵ قابل محاسبه است:

$$R_T = \frac{2.2902(0.9842^T)}{T^{0.1102}} \quad [۵]$$

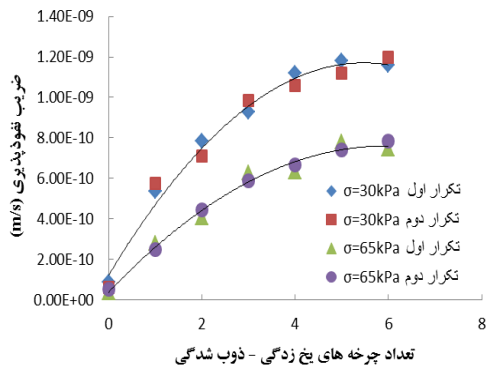
در این رابطه  $T$  میانگین دمای آزمایش  $(T = \frac{T_1 + T_2}{2})$ ،  $T_1$  و  $T_2$  به ترتیب دما در شروع و در انتهای آزمایش هستند که با دقت ۱/۰ درجه سلسیوس اندازه گرفته شده‌اند.

دارای رابطه نزدیک بوده و هر دو فرایند از یک مکانیزم مشابه پیروی می‌کنند.

اثر تنش مؤثر بر ضریب نفوذپذیری رس متراکم تحت اثر چرخه‌های یخ‌زدگی-ذوبشدنی

تغییرات ضریب نفوذپذیری در مقابل تعداد چرخه‌های یخ‌زدگی-ذوبشدنی برای هر دو آزمایش نفوذپذیری تحت تنش مؤثر  $30 \text{ kPa}$  و  $65 \text{ kPa}$  در شکل ۵ نشان داده شده است. اعمال تنش مؤثر زیاد به نمونه‌هایی که تحت اثر چرخه‌های یخ‌زدگی-ذوبشدنی قرار گرفته‌اند باعث کاهش نرخ افزایش در ضریب نفوذپذیری در اثر چرخه‌های یخ‌زدگی-ذوبشدنی می‌شود. به عبارتی تنش مؤثر بیشتر اثر مخرب چرخه‌های یخ‌زدگی-ذوبشدنی را تا حدودی کاهش می‌دهد.

برای بررسی بیشتر اثر تنش مؤثر بر ضریب نفوذپذیری نمونه‌های رسی تحت اثر چرخه‌های یخ‌زدگی



شکل ۵- ضریب نفوذپذیری نمونه‌های رسی در مقابل چرخه‌های یخ‌زدگی-ذوبشدنی تحت تنش مؤثر  $30 \text{ kPa}$  و  $65 \text{ kPa}$

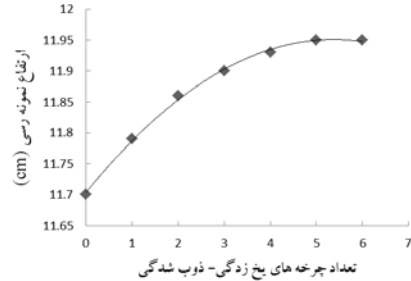
-ذوبشدنی، از پارامتر  $B$  استفاده می‌گردد. این پارامتر نشان دهنده تغییرات نفوذپذیری در هر چرخه بر اثر تغییرات تنش احتمالی است. پارامتر  $B$  بی بعد  $B$  به صورت نسبت ضریب نفوذپذیری میانگین هر چرخه تحت اثر تنش مؤثر  $65 \text{ kPa}$  به ضریب نفوذپذیری میانگین هر چرخه تحت اثر تنش مؤثر  $30 \text{ kPa}$  ( $K_{n,65} / K_{n,30}$ ) تعريف می‌گردد (بنسون و اتنمن ۱۹۹۳):

$$B = \frac{K_{n,65}}{K_{n,30}}$$

[۶]

در ضریب نفوذپذیری نمونه‌های رسی را می‌توان با توجه به مکانیسم چرخه‌های یخ‌زدگی-ذوبشدنی و افزایش حجم حفرات نمونه‌های رسی توجیه کرد. اتنمن و بنسون (۱۹۹۳) و کراس و بنسون (۱۹۹۷) به نتایج مشابهی دست یافته‌اند.

دلیل اصلی افزایش ضریب نفوذپذیری نمونه‌های رسی بر اثر چرخه‌های یخ‌زدگی-ذوبشدنی، افزایش حجم آب داخل نمونه رسی در اثر یخ‌زدن آن و در نتیجه افزایش حجم حفرات خاک است. به همین دلیل برای مشاهده اثر چرخه‌های یخ‌زدگی-ذوبشدنی بر حجم نمونه و همچنین مشاهده رابطه بین افزایش حجم نمونه با افزایش ضریب نفوذپذیری نمونه‌های رسی، یک نمونه رسی با خواص فیزیکی مشابه با سایر نمونه‌های رسی که تحت آزمایش‌های نفوذپذیری سه محوری قرار گرفتند، تهیه شد و تغییرات ارتفاع نمونه به عنوان معرفی از تغییرات حجم نمونه، بعد از هر چرخه یخ‌زدگی-ذوبشدنی اندازه‌گیری و ثبت شد. تغییرات ارتفاع نمونه در مقابل تعداد چرخه‌های یخ‌زدگی-ذوبشدنی در شکل ۴ نشان داده شده است.



شکل ۴- تغییرات ارتفاع نمونه رسی در مقابل چرخه‌های یخ‌زدگی-ذوبشدنی.

همانطور که در شکل ۴ ملاحظه می‌شود ارتفاع نمونه با افزایش تعداد چرخه‌های یخ‌زدگی-ذوبشدنی افزایش می‌یابد اما مشابه با نرخ افزایش نفوذپذیری، نرخ افزایش ارتفاع نیز بعد از ۳ چرخه کاهش می‌یابد و بعد از چرخه پنجم دیگر تغییری در ارتفاع نمونه مشاهده نمی‌شود. مقایسه شکل ۴ با شکل ۳ نشان می‌دهد تغییرات حجم نمونه با تغییرات ضریب نفوذپذیری

کاهش می‌یابد. همانطور که در جدول ۳ نشان داده شده است تغییرات پارامتر B مستقل از تغییرات چرخهای بیخ زدگی - ذوب شدگی می‌باشد. لیکن مقادیر پارامتر B در هر چرخه بیخ زدگی - ذوب شدگی نشان‌دهنده نسبت کاهش ضریب نفوذپذیری نمونه‌های رسی با افزایش تنش مؤثر از  $30\text{ kPa}$  به  $65\text{ kPa}$  می‌باشد.

تأثیر چرخهای بیخ زدگی - ذوب شدگی بر ضریب نفوذپذیری عایق رسی ژئوسینتیک تاثیر چرخهای بیخ زدگی - ذوب شدگی بر ضریب نفوذپذیری عایق رسی ژئوسینتیک تحت تنش موثر  $20\text{ kPa}$  و گرادیان هیدرولیکی  $10$ ، به همراه ضخامت یک نمونه GCL در جدول ۴ نشان داده شده است.

در این رابطه،  $n$  تعداد چرخهای بیخ زدگی - ذوب شدگی می‌باشد.

میانگین ضرایب نفوذپذیری در تنش‌های مؤثر  $30\text{ kPa}$  و  $65\text{ kPa}$  و همچنین مقدار پارامتر B برای چرخهای مختلف بیخ زدگی - ذوب شدگی در جدول ۳ نشان داده شده است. با افزایش تنش مؤثر از  $30\text{ kPa}$  به  $65\text{ kPa}$  ضریب نفوذپذیری نمونه‌های رسی در چرخهای بیخ زدگی - ذوب شدگی کاهش نشان داد. این کاهش در ضریب نفوذپذیری نمونه‌های رسی، بر اثر افزایش تنش مؤثر را می‌توان با کاهش حجم حفرات این نمونه‌ها بر اثر اعمال تنش توجیه کرد. با افزایش تنش مؤثر اعمال شده بر نمونه‌های رسی حجم حفرات خاک کاهش یافته و در نتیجه ضریب نفوذپذیری این نمونه‌ها

جدول ۳- میانگین ضریب نفوذپذیری و پارامتر B برای نمونه‌های رسی.

پارامترها						
تعداد چرخهای بیخ زدگی - ذوب شدگی						
۶	۵	۴	۳	۲	۱	N
$1/18 \times 10^{-9}$	$1/15 \times 10^{-9}$	$1/10 \times 10^{-9}$	$9/58 \times 10^{-10}$	$7/49 \times 10^{-10}$	$5/57 \times 10^{-10}$	$7/37 \times 10^{-11}$
$7/85 \times 10^{-10}$	$7/61 \times 10^{-10}$	$6/5 \times 10^{-10}$	$6/07 \times 10^{-10}$	$4/26 \times 10^{-10}$	$2/46 \times 10^{-10}$	$4/43 \times 10^{-11}$
$0/64$	$0/66$	$0/59$	$0/62$	$0/56$	$0/47$	$0/6$
						B

بر نمونه‌های GCL، ضریب نفوذپذیری این لایه‌ها را به طور قابل ملاحظه‌ای تحت تأثیر قرار نمی‌دهد و اگر این لایه‌ها در معرض آب و هوای سرد قرار گیرند به عملکرد خوب خود به عنوان مانع هیدرولیکی ادامه می‌دهند. پدگوتنزی و بنت ( $2006$ ) و رو و همکاران ( $2008$ ) به نتایج تقریباً مشابهی دست یافتند.

جدول ۴- نتایج آزمایش‌های نفوذپذیری روی نمونه GCL عایقهای

(mm)	ضخامت نمونه	ضریب نفوذپذیری $K_{20}$ (m/s)	تعداد چرخهای بیخ زدگی - ذوب شدگی	اصلاح شده	
				بیخ زدگی - ذوب شدگی	ضخامت نمونه
۶/۸		$2 \times 10^{-11}$	.		
۷/۹		$2/13 \times 10^{-11}$	۱		
۸/۶		$2/34 \times 10^{-11}$	۲		
۹/۲		$2/51 \times 10^{-11}$	۵		
۹/۸		$2/57 \times 10^{-11}$	۸		
۱۰/۱		$2/68 \times 10^{-11}$	۱۲		

تأثیر چرخهای بیخ زدگی - ذوب شدگی بر ضریب نفوذپذیری عایق رسی ژئوسینتیک تأثیر چرخهای بیخ زدگی - ذوب شدگی بر ضریب نفوذپذیری عایق رسی ژئوسینتیک تحت تنش موثر  $20\text{ kPa}$  و گرادیان هیدرولیکی  $10$ ، به همراه ضخامت یک نمونه GCL در جدول ۴ نشان داده شده است. ضریب نفوذپذیری نمونه GCL که در معرض چرخه بیخ - زدگی - ذوب شدگی قرار نداشت برابر با  $2 \times 10^{-11}\text{ m/s}$  بددست آمد. این در حالی است که ضریب نفوذپذیری نمونه GCL که در معرض  $12$  چرخه بیخ زدگی - ذوب شدگی قرار داشت با نزدیک به  $25$  درصد افزایش به  $2/68 \times 10^{-11}\text{ m/s}$  رسید در حالیکه برای نمونه رسی بدون عایق در تنش‌های مشابه ضریب نفوذپذیری در  $6$  بار چرخه بیخ زدگی - ذوب شدگی تقریباً  $16$  برابر ضریب نفوذپذیری نمونه رسی بود که تحت چرخه بیخ زدگی - ذوب شدگی قرار نگرفته بود. نتایج نشان داد که برخلاف نمونه‌های رسی، اعمال چرخهای بیخ زدگی - ذوب شدگی

نفوذپذیری این لایه‌ها را به‌طور قابل ملاحظه‌ای تحت تأثیر قرار نمی‌دهد.

فهرست علائم	
و	درجه رطوبت خاک
GCL	عایق رسی ژئوسینتیک
a	سطح مقطع بورت دستگاه نفوذپذیری سه محوری
L	ارتفاع نمونه خاک
A	سطح مقطع نمونه خاک
t	زمان آزمایش
P <sub>B</sub>	تنش انترافی
h	اختلاف ارتفاع آب در بورت بالایی و پائینی
V <sub>u</sub> (t <sub>i</sub> )	حجم فرائت شده در بورت بالایی در زمان t <sub>i</sub>
V <sub>L</sub> (t <sub>i</sub> )	حجم فرائت شده در بورت پائینی در زمان t <sub>i</sub>
K <sub>20</sub>	ضریب نفوذپذیری در دمای ۲۰ درجه سلسیوس
K	ضریب نفوذپذیری در دمای آزمایش
R <sub>T</sub>	نسبت ویسکوزیته آب در دمای آزمایش
T	به ویسکوزیته آب در دمای ۲۰ درجه سلسیوس
T <sub>1</sub>	میانگین دمای آزمایش
T <sub>2</sub>	دمای آزمایش در شروع آزمایش
CL	دمای آزمایش در انتهای آزمایش
B	خاک رسی با خاصیت خمیری پائین
K <sub>n,65</sub>	نسبت ضریب نفوذپذیری تحت اثر تنش مؤثر ۶۵ kPa
K <sub>n,30</sub>	تنش مؤثر ۳۰ kPa
n	ضریب نفوذپذیری میانگین چرخه nام تحت اثر

### نتیجه‌گیری کلی

نتایج بدست آمده از این مطالعه را بصورت زیر می‌توان خلاصه نمود:

- ضریب نفوذپذیری خاک رس متراکم بر اثر اعمال چرخه‌های یخ‌زدگی-ذوبشدنگی افزایش می‌یابد و بعد از ۵ چرخه یخ‌زدگی-ذوبشدنگی به مقدار حداقل خود می‌رسد.
- ضریب نفوذپذیری نمونه رسی که تحت اثر ۵ چرخه یخ‌زدگی-ذوبشدنگی قرار گرفته است می-تواند برای طراحی مهندسی در مناطق سردسیر مورد استفاده قرار گیرد.
- بیشترین تغییر در ضریب نفوذپذیری نمونه‌های رسی بعد از اولین چرخه یخ‌زدگی-ذوبشدنگی رخ می‌دهد.
- تنش مؤثر بیشتر، اثر مخرب چرخه‌های یخ‌زدگی-ذوبشدنگی را تا حدودی کاهش داده و باعث کاهش ضریب نفوذپذیری در یک چرخه مشخص می‌شود.
- تغییرات حجم نمونه با چرخه‌های یخ‌زدگی-ذوبشدنگی دقیقاً همانند تغییرات ضریب نفوذپذیری نمونه‌های رسی بود که نشانگر رابطه میان حجم نمونه با ضریب نفوذپذیری آن است.
- افزایش کمی (در حدود ۰/۲۵٪) در ضریب نفوذپذیری نمونه GCL قرار گرفته در معرض ۱۲ چرخه یخ-زدگی-ذوبشدنگی نسبت به نمونه GCL که تحت چرخه یخ‌زدگی-ذوبشدنگی قرار نگرفته بود بدست آمد.
- برخلاف نمونه‌های رسی، اعمال چرخه‌های یخ-زدگی-ذوبشدنگی بر نمونه‌های GCL ضریب

### منابع مورد استفاده

Andersland OB and Anderson DM, 1978. Geotechnical Engineering for Cold Region. Mc Graw-Hill, New York.  
Anonymous, 1990. Standard test method for soil compaction, Proctor method. American Society for Testing and Materials (ASTM) D698-78, USA.

- Anonymous, 2008. Standard test method for determining the effect of freeze-thaw on hydraulic conductivity of compacted or intact soil specimens using a flexible wall hydraulic conductivity apparatus. American Society for Testing and Materials (ASTM) D6035-08, USA.
- Anonymous, 2010. Standard test method for measurement of hydraulic conductivity of saturated porous materials using a flexible wall permeameter. American Society for Testing and Materials (ASTM) D5084-10, USA.
- Benson CH and Othman MA, 1993. Hydraulic conductivity of compacted clay frozen and thawed in situ. ASCE Journal of Geotechnical Engineering 119: 276-294.
- Chamberlain EJ Iskander I and Hunsiker SE, 1990. Effect of freeze-thaw on the permeability and macrostructure of soils. Pp. 145-155. Proceedings of International Symposium on Frozen Soil Impacts on Agricultural Range and Forest Lands, Spokane, Washington, USA.
- Hewitt RD and Daniel DE, 1997. Hydraulic conductivity of geosynthetic clay liners after freeze-thaw. Journal of Geotechnical and Geoenvironmental Engineering 123(4): 305-313.
- Kraus JF and Benson CH, 1995. Effect of freeze-thaw on the hydraulic conductivity of barrier materials: laboratory and field evaluation. Research and development: EPA/600/SR-95/118.
- Othman MA, 1992. Effect of freeze-thaw on the structure and hydraulic conductivity of compacted clay. Ph.D. Thesis, University of Wisconsin Madison, Wisconsin, USA.
- Othman MA and Benson CH, 1993. Effect of freeze-thaw on the hydraulic conductivity of three compacted clays from Wisconsin. Transportation Research Record 1369: 118-125.
- Penner E, 1957. Soil moisture tension and ice segregation. Highway Research Board, Bulletin 168: 50-64.
- Podgorney RK and Bennett JE, 2006. Evaluating the long-term performance of geosynthetic clay liners exposed to freeze-thaw. ASCE, Journal of Geotechnical and Geoenvironmental Engineering 132(2): 265-268.
- Rowe RK Mukunoki T and Bathurst RJ, 2008. Hydraulic conductivity to jet-A1 of GCLs after up to 100 freeze-thaw cycles. Geotechnique 58(6): 503-511.
- Taylor GS and Luthin JN, 1978. A model for coupled heat and moisture transfer during soil freezing. Canadian Geotechnical Journal 15: 548-555.
- Williams PJ and Perfect E, 1980. Investigation of thermally actuated water migration in frozen soils. Geotechnical Science Laboratories, Department of Geography, Carleton University, Ottawa, Canada.
- Zimmie TF Laplante CM and Bronson DL, 1991. The effect of freezing and thawing on landfill covers and liners. Pp. 363-371. Proceedings 3rd International Symposium on Cold Regions Heat Transfer, University of Alaska, Fairbanks, USA.